

ЭЛЕКТРООБОРУДОВАНИЕ ПРОМЫШЛЕННЫХ ПРЕДПРИЯТИЙ

УДК 621.316.825

В.А.Палагин, канд.техн.наук (БТИ)

ПАРАМЕТРИЧЕСКИЙ СИНТЕЗ СХЕМ ПРЕОБРАЗОВАТЕЛЕЙ ТЕМПЕРАТУРЫ НА ОСНОВЕ ТЕПЛОЗАВИСИМЫХ ЭЛЕМЕНТОВ (ТЗЭ)

При конструировании преобразователей температуры на основе ТЗЭ встает вопрос обеспечения линейной зависимости тока в измерительной ветви от измеряемой температуры.

Ток в относительных единицах в любой ветви электрической схемы преобразователя температуры с одним ТЗЭ можно определить в общем виде выражением [1]:

$$\bar{I}_i(T) = \frac{\bar{R}_{тэ} \alpha + \beta}{\bar{R}_{тэ} + \gamma} \quad (1)$$

Здесь $\bar{R}_{тэ} = \frac{R_{тэ}(T)}{R_j}$; $\bar{I}_i = \frac{I_i}{U_{ц}/R_j}$; $\alpha = \frac{a_i R_j}{c}$;

$$\beta = \frac{b_i}{c}; \quad \gamma = \frac{d}{cR_j},$$

где R_j - одно из выбранных известным сопротивлением измерительной схемы.

Значения a_i , b_i , c и d определяются для конкретных схем, например, методом эквивалентного генератора. Так, для мостовой схемы рис.1,а значения этих коэффициентов для измерительной цепи (R_o) имеют значения ($R_j = R_3$):

$$\left. \begin{aligned} \bar{a}_o &= a_o/R_3 = \bar{R}_4; \quad \bar{b}_o = b_o/R_3^2 = -\bar{R}_2; \\ \bar{c} &= c/R_3^2 = (1 + \bar{R}_1)(\bar{R}_o + \bar{R}_2 + \bar{R}_4) + \bar{R}_4(\bar{R}_o + \bar{R}_2); \end{aligned} \right\} \quad (2)$$

$$\bar{d} = d/R_3^3 = \bar{R}_1 \left[\bar{R}_0 (\bar{R}_2 + \bar{R}_4) + (\bar{R}_0 + \bar{R}_2 + \bar{R}_4) \right] + \left. \begin{aligned} &+ \bar{R}_2 \left[\bar{R}_0 (1 + \bar{R}_4) + \bar{R}_4 \right]. \end{aligned} \right\} \quad (2)$$

Разложив функцию $\bar{I}_1(T)$ в ряд Тейлора, получим линеаризованное значение

$$\bar{I}_{i, \text{лин}}(T) = \bar{I}_1(T_{\text{ср}}) + \bar{I}'_1(T_{\text{ср}}) \cdot (T - T_{\text{ср}}) + \bar{I}_n, \quad (3)$$

где $T_{\text{ср}}$ - среднее значение температуры линеаризуемого участка зависимости $\bar{I}_1(T)$; $\bar{I}'_1(T_{\text{ср}})$ - первая производная тока \bar{I}_1 по температуре в точке $T_{\text{ср}}$; \bar{I}_n - остаточный член, определяющий ошибку разложения.

С целью уменьшения остаточного члена \bar{I}_n , обеспечим равенство нулю второй производной \bar{I}''_1 . Это одновременно является необходимым условием максимальной температурной чувствительности. Оно определяется на основе уравнения (1) и выражается соотношением

$$\gamma = \frac{\bar{d}}{c} = \left[\frac{(\bar{R}'_{\text{тэ}})^2}{\bar{R}''_{\text{тэ}}} - \bar{R}_{\text{тэ}} \right]. \quad (4)$$

Первая производная $\bar{I}'_1(T)$ равна

$$\bar{I}'_1(T) = \frac{\gamma \alpha - \beta}{(\bar{R}_{\text{тэ}} + \gamma)^2} \cdot \bar{R}_{\text{тэ}}. \quad (5)$$

Производные $\bar{R}'_{\text{тэ}}$ и $\bar{R}''_{\text{тэ}}$ определяются по известным выражениям $\bar{R}_{\text{тэ}}(T)$ для конкретных элементов и, например, для термистора равны

$$\begin{aligned} \bar{R}_{\text{тэ}} &= \frac{R_\infty}{R_j} \exp \frac{B}{T}; \quad \bar{R}'_{\text{тэ}} = -\frac{B}{T^2} \bar{R}_{\text{тэ}}; \quad \bar{R}''_{\text{тэ}} = \\ &= \frac{B}{T^3} \left(\frac{B}{T} + 2 \right) \bar{R}_{\text{тэ}}. \end{aligned} \quad (6)$$

Рассмотрим задачу линеаризации зависимости тока в измерительной диагонали мостовой схемы (рис.1,а) от темпера-

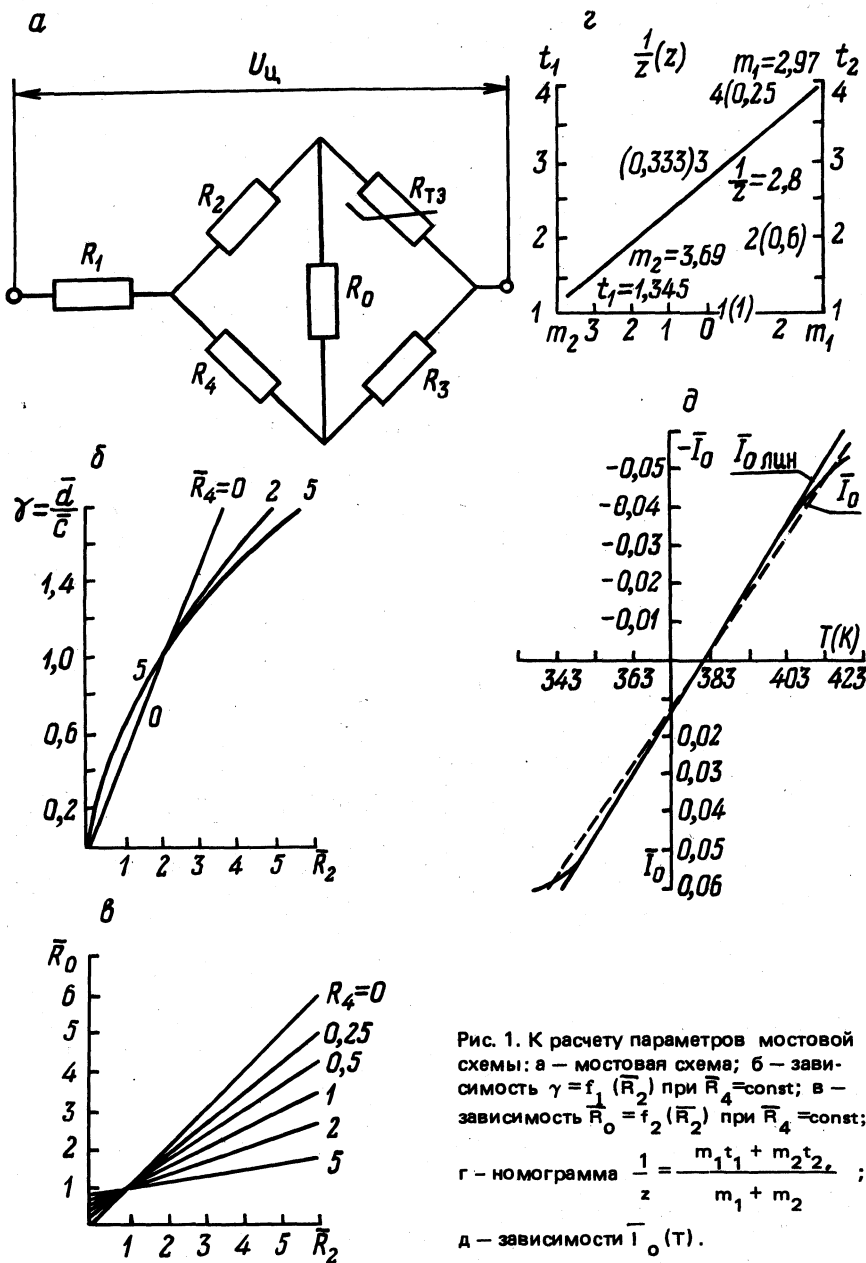


Рис. 1. К расчету параметров мостовой схемы: а — мостовая схема; б — зависимость $\gamma = \frac{\bar{d}}{c}$ (\bar{R}_2) при $\bar{R}_4 = \text{const}$; в — зависимость $\bar{R}_0 = f_2(\bar{R}_2)$ при $\bar{R}_4 = \text{const}$; г — номограмма $\frac{1}{z} = \frac{m_1 t_1 + m_2 t_2}{m_1 + m_2}$; д — зависимости $\bar{I}_0(T)$.

туры. В качестве сопротивления R_j примем сопротивление R_3 . Соотношение γ определяется выражением

$$\gamma = \frac{\bar{R}_1 [\bar{R}_0 (\bar{R}_2 + \bar{R}_4) + (\bar{R}_0 + \bar{R}_2 + \bar{R}_4)] + \bar{R}_2 [\bar{R}_0 (1 + \bar{R}_4) + \bar{R}_4]}{(1 + \bar{R}_1) (\bar{R}_0 + \bar{R}_2 + \bar{R}_4) + \bar{R}_4 (\bar{R}_0 + \bar{R}_2)},$$

где

$$\bar{R}_1 = R_1 / R_3; \bar{R}_2 = R_2 / R_3; \bar{R}_4 = R_4 / R_3; \bar{R}_0 = R_0 / R_3.$$

Нетрудно показать, что условием наилучшего использования мощности ТЭЭ (т.е. условием максимума $\frac{P_{\text{изм}}}{P_{\text{тэ}}}$) является равенство

$$\bar{R}_0 = \frac{\bar{R}_2 / \bar{R}_4 + 1}{1 / \bar{R}_4 + 1} \quad (7)$$

С учетом (7)

$$\gamma = \frac{\bar{R}_1 (\bar{R}_2 + \bar{R}_4) \left(2 + \frac{\bar{R}_2}{1 + \bar{R}_4} \right) + \bar{R}_2 (\bar{R}_2 + 2\bar{R}_4)}{(1 + \bar{R}_1) (\bar{R}_2 + \bar{R}_4) \left(1 + \frac{1}{1 + \bar{R}_4} \right) + \bar{R}_4 \left(\frac{\bar{R}_2 + \bar{R}_4}{1 + \bar{R}_4} + \bar{R}_2 \right)} \quad (8)$$

На рис.1,б приведена зависимость $\gamma = f_1(\bar{R}_2)$ при $\bar{R}_1 = 0$ и $\bar{R}_4 = \text{const}$, а на рис.1,в функция $\bar{R}_0 = f_2(\bar{R}_2)$ при $\bar{R}_4 = \text{const}$.

Поскольку в выражении \bar{I}_i' (Т) входит соотношение

$$\gamma \alpha - \beta = z, \quad (9)$$

то для облегчения выбора параметров измерительной схемы целесообразно построить номограмму z в функции параметров мостовой схемы. Для этого, подставив значения γ , α , β (при $R_1 = 0$), приведем уравнение (7) к виду

$$\frac{1}{z} = \frac{\gamma \bar{R}_4 \cdot 2/\gamma + \bar{R}_2 (2 + \bar{R}_4)}{\gamma \bar{R}_4 + \bar{R}_2} \quad (10)$$

Имяли обозначения

$$m_1 = \gamma \bar{R}_4; m_2 = \bar{R}_2; t_1 = \frac{2}{\gamma}; t_2 = 2 + \bar{R}_4,$$

перепишем (9) в виде

$$\frac{1}{z} = \frac{m_1 t_1 + m_2 t_2}{m_1 + m_2}. \quad (11)$$

В [2] показано, что зависимость (11) может быть представлена в виде номограммы с двумя бинарными полями в системе выраженных точек (рис.1,г).

Таким образом, пользуясь номограммами рис.1,а,б,в,г, можно достаточно просто выбрать параметры измерительной схемы, обеспечивающие линейную зависимость $\bar{I}_0(T)$.

Пример. Требуется спроектировать мостовую схему с линейной зависимостью тока в измерительной диагонали от температуры. Температурный интервал $\pm 50^\circ$ со средним значением температуры $T_{cp} = 373K$. В качестве ТЗЭ принять термистор КМТ-14, $R_{20} = 74 \text{ кОм}$, $B=3855 \text{ К}$, $R_\infty = 0,143 \text{ Ом}$. Примем $R_1 = 0$.

Порядок расчета

1. Определим значение γ для температуры T_{cp} , пользуясь выражениями (4) и (6):

$$\gamma = \frac{\bar{d}}{c} = \left[2 \frac{B/T_{cp}}{B/T_{cp} + 2} - 1 \right] \bar{R}_{тэ.ср} = 0,676 \bar{R}_{тэ.ср}$$

Выбрав

$$\begin{aligned} \bar{R}_{тэ.ср} &= \frac{R_{тэ}(T_{cp})}{R_3} = 2,2 \left(R_3 = \frac{0,143 \exp(3855/373)}{2,2} = \right. \\ &= 2000 \text{ Ом}), \end{aligned}$$

находим $\gamma = 1,487$.

2. Приняв $\bar{R}_4 = 2$ (т.е. $R_4 = \bar{R}_4 \cdot R_3 = 4000 \text{ Ом}$) по графику рис. 1,а, находим $\bar{R}_2 = 3,59$ (т.е. $R_2 = \bar{R}_2 R_3 = 7180 \text{ Ом}$).

3. По найденным значениям \bar{R}_2 и \bar{R}_4 , пользуясь выражением (7) или рис. 1, в, находим $\bar{R}_0 = 1,86$ (т.е. $R_0 = \bar{R}_0 \times R_3 = 3720 \text{ Ом}$).

Отметим, что при заданном сопротивлении нагрузки R_0 расчет целесообразно начинать с определения соотношений \bar{R}_2 и \bar{R}_4 по графикам рис. 1,б. Далее находится значение γ , соответствующее выбранным значениям \bar{R}_2 и \bar{R}_4 (по графикам рис. 1,б) и, наконец, определяется R_3 .

4. Используя номограмму рис.1,г для найденных значений γ , \bar{R}_2 и \bar{R}_4 , определяем $\frac{1}{z}$ ($m_2 = \bar{R}_2 = 3,59; t_1 = \frac{2}{\gamma} = 1,345; m_1 = \gamma \bar{R}_4 = 2,974; t_2 = 2 + \bar{R}_4 = 4$). Оно равно $\frac{1}{z} = 2,8$ или $z = 0,357$.

5. Рассчитываем значение $\bar{T}'_0(T_{cp})$, определяющее угол наклона линеаризованной зависимости \bar{T}_i лин. (T) = $\bar{T}_{0.лин}$ (T) (в соответствии с выражениями (5), (6), (9)У):

$$\bar{T}'_0(T_{cp}) = -z \frac{B}{T^2} \cdot \frac{\bar{R}_{тэ.ср}}{(\bar{R}_{тэ.ср} + \gamma)^2} = -0,357 \frac{3855}{373^2} \times \frac{2,2}{(2,2+1,487)^2} = -0,0016.$$

6. Определяем $\bar{T}_i(T_{cp}) = \bar{T}_0(T_{cp})$, пользуясь уравнением (1). Предварительно найдем

$$\alpha = \frac{\bar{a}_0}{c} = \frac{2}{(1,86+3,59+2)+2(1,86+3,59)} = 0,109;$$

$$\beta = \frac{\bar{b}_0}{c} = -0,196.$$

Тогда $\bar{T}_0(T_{cp}) = \frac{2,2 \cdot 0,109 - 0,196}{2,2 + 1,487} = 0,012$.

7. Записываем уравнение линеаризованной зависимости (на основе (3)):

$$\bar{T}_{0.лин}(T) = \bar{T}_0(T_{cp}) + \bar{T}'_0(T_{cp}) \cdot (T - T_0) = 0,012 - 0,0016(T - T_{cp}).$$

На рис. 1,д приведены расчетные значения зависимости тока через измерительную диагональ мостовой схемы от температуры $\bar{I}_o(T)$ и соответствующая ей линейаризованная зависимость $\bar{I}_{o,лин}$.

Погрешность при температуре 423К составит 14%.

Точность линейаризации может быть повышена, если действительную зависимость $\bar{I}_o(T)$ аппроксимировать прямой, пересекающейся с действительной, например, при $T = 413$ К. Угол наклона в этом случае определится выражением

$$\frac{\bar{I}_o(413) - \bar{I}_o(T_{ср})}{413 - T_{ср}} = - 0,00147.$$

Линейаризованное уравнение при этом принимает вид

$$\bar{I}_{o,лин}(T) = 0,012 - 0,00147(T - T_{ср}).$$

Погрешность при $T=423$ К составит 4,9%.

При уменьшении диапазона измеряемых температур погрешность существенно уменьшается (при измерении температур в диапазоне $\pm 20^\circ$ от $T_{ср}$ погрешность линейаризации составляет доли процента).

Л и т е р а т у р а

1. Волошин И.Ф., Палагин В.А. Переходные процессы в цепях с термисторами. - Минск: Наука и техника, 1967, с. 72.
2. Франк М.Л. Номографический справочник. - М.: ГТГИ, 1933, с.17.

УДК 621.314.632

В.Г.Черномашенцев, канд.техн.наук, В.А.Пацкевич, инженер
(БИИЖТ)

ЭЛЕКТРОМАГНИТНЫЕ ПРОЦЕССЫ В СТАБИЛИЗИРОВАННОМ ИНВЕРТОРЕ

Широкому внедрению в промышленность индукционного нагрева токами высокой частоты способствует разработка новых источников питания, наиболее полно отвечающих требованиям, предъявляемым технологией к индукционной нагревательной ус-